

[7] Буйлов Л.Л., Алексенко А.Е., Ботев А.А.,
Спицын Б.В. // Докл. АН СССР. 1986. Т. 287. № 4.
С. 888-891.

Институт общей
физики
АН СССР, Москва

Поступило в Редакцию
5 июня 1990 г.

Письма в ЖТФ, том 16, вып. 15

12 августа 1990 г.

04; 10

© 1990

УСИЛЕНИЕ ТОКА ПРИ ПРОХОЖДЕНИИ МОДУЛИРОВАННОГО ЭЛЕКТРОННОГО ПУЧКА ЧЕРЕЗ СЛАБОИОНИЗОВАННУЮ ПЛАЗМУ

П.В. Веденин

Одним из интересных явлений, сопровождающих транспортировку электронных пучков через плазму, является усиление тока. Экспериментально этот эффект наблюдался при инжекции непрерывных пучков в нейтральный газ низкого давления (10^{-5} -1 Тор) [1-6], высокого давления (20-500 Тор) [3, 5, 7], в заранее приготовленную плазму [8]. Зафиксированы коэффициенты усиления (отношение полного тока к пучковому), не превышающие пяти. Единственный эксперимент, в котором отмечалось десятикратное увеличение тока, проводился с использованием модулированного электронного пучка [9].

Механизмы появления плазменного тока, сопутствующего пучковому, связываются с дрейфом электронов плазмы в электрическом и магнитном полях ненейтрализованного пучка [1], с поперечным движением пучка в электрически проводящем канале [10] и с передачей импульса от электронов пучка электронам плазмы при развитии пучковой неустойчивости [11]. Теоретическое исследование эффекта усиления тока, сопровождающего транспортировку глубоко модулированного электронного пучка через слабоионизованную плазму, до настоящего времени не проводилось.

Начиная с момента времени $t = 0$, в полупространство $z \geq 0$, заполненное холодной слабоионизованной плазмой с концентрацией n_{po} , вдоль оси Oz инжектируется со скоростью v_0 модулированный по плотности с частотой ω_0 ($\omega_0 \gg \omega_{po} \gg v$, v - частота транспортных столкновений электронов плазмы, $\omega_{po} = \frac{4\pi e^2 h_{po}}{m}$) и глубиной M поток электронов длительности t_f и радиуса r_f .

Вблизи плоскости инжекции, где продольной динамикой пучка можно пренебречь и рассматривать плотность тока пучка в виде $j_\beta(\tau, r) = e v_0 n_\beta(\tau) \rho(r) (1 + M \cos \omega_0 \tau)$, где $\tau = t - \frac{z}{v_0}$, $\rho(r)$ - радиальный профиль пучка, а $n_\beta(\tau) \ll n_p$, возбуждаемое поле представляет собой бегущую с фазовой скоростью v_0 волну. В поле волны, амплитуда которой превышает пробойное значение, происходит ионизация остаточного газа. Для описания роста концентрации электронов используем простейшее уравнение

$$\frac{\partial n_p}{\partial t} = \Gamma n_p, \quad (1)$$

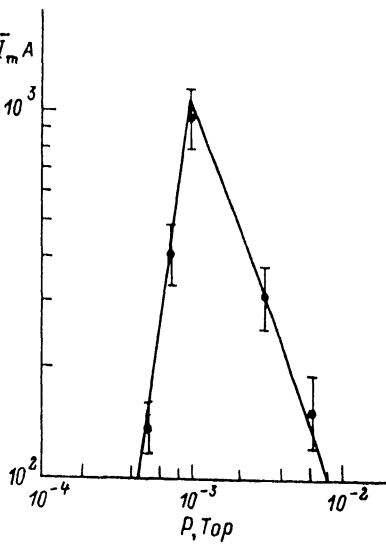
справедливое в пренебрежении локальными потерями заряженных частиц и для пространственных масштабов, существенно превышающих длину ионизации электронным ударом. Кроме того, в (1) опущен член, ответственный за наработку плазмы пучковыми электронами, поскольку мы приняли, что $n_\beta \ll n_p$. Ради простоты положим $\Gamma = \text{const}$, причем $\Gamma \ll \omega_{p0} \ll \omega_0$. Даже столь простая модель позволяет, как будет показано ниже, с хорошей точностью объяснить экспериментальные результаты по усилению тока в системе модулированный пучок-слабоионизованная плазма.

С ростом концентрации электронов увеличивается амплитуда электрического поля $\vec{A} = (A_r, Q, A_z)$. Скорость нарастания \vec{A} заметно поднимается в резонансной области $|\tau - \tau_{res}| \lesssim \Delta = \sqrt{\frac{2\pi}{\omega_0 \Gamma}}$, где τ_{res} определяется из условия $\omega_p(\tau_{res}) = \omega_0$, $\omega_p^2 = \frac{4\pi e^2 n_p(\tau)}{m}$. Возбуждаемое поле представляет собой суперпозицию собственных и вынужденных колебаний, причем в области A они практически неразличимы. Максимальная амплитуда электрического поля A_m достигается при $\tau_m \approx \tau_{res} + \Delta$ ($|A_{mr}| \approx \Lambda(\tau_m) Q(r)$, $|A_{mr}| \approx \Lambda(\tau_m) \frac{v_0}{\omega_0} \frac{\partial Q}{\partial r}$, $\Lambda(\tau_m) = M 4\pi |e| v_0 n_\beta(\tau_m) \sqrt{\frac{\pi}{\omega_0 \Gamma}}$,

$Q(r)$ - формфактор). Выражение для Q , например, в случае пучка с радиальным профилем $\rho(r) = \gamma(1 - \frac{r}{r_\beta})$, где $\gamma(x) \begin{cases} 1 & x > 0 \\ 0 & x < 0 \end{cases}$, имеет вид

$$Q(r) = \begin{cases} \frac{r_\beta}{x} I_1\left(\frac{r_\beta}{x}\right) K_0\left(\frac{r}{x}\right) & r > r_\beta \\ 1 - \frac{r_\beta}{x} K_1\left(\frac{r_\beta}{x}\right) I_0\left(\frac{r_\beta}{x}\right) & r \leq r_\beta \end{cases}$$

где $I_n(x)$, $K_n(x)$ - модифицированная функция Бесселя и функция Макдональда n -го порядка соответственно, $x = \frac{v_0}{\omega_0} [1 - \beta_0^2 \epsilon_p(\tau)]^{-1/2}$, $\beta_0 = \frac{v_0}{c}$, $\epsilon_p = 1 - \frac{\omega_p^2}{\omega_0^2}$. После выхода системы



Теоретическая зависимость максимального тока \bar{I}_m от давления газа Р при $z = 20$ см, а также экспериментальные точки.

из резонансной области поле начинает спадать, причем амплитуда вынужденных колебаний уменьшается пропорционально $1/\epsilon_p(\tau)$, а собственных – пропорционально $\exp\left[-y \frac{(\tau - \tau_{res})}{2}\right] \cdot \frac{1}{\sqrt{\omega_p(\tau)}}$.

Решение модельной задачи о движении выделенного ансамбля электронов в поле бегущей с фазовой скоростью v_0 волны показало, что они приобретают среднюю скорость \bar{u}_p , определяемую из уравнения

$$\frac{d\bar{u}_p}{dt} = \frac{e^2}{4m^2\omega_0^2v_0^2} \left(2\frac{\partial}{\partial t} - v_0 \frac{\partial}{\partial z} \right) A_z^2 [t, z(t)]. \quad (2)$$

На электроны действует сила Миллера и сила, возникающая при изменении амплитуды поля во времени. Подчеркнем, что этот результат не зависит от причины возникновения волны. Однако использовать (2) для оценки плазменного тока увлечения можно лишь, когда в системе не возникает разделения зарядов под действием радиальной силы Миллера (наличие сильного внешнего продольного магнитного поля B_{0z}), а также если пренебрежимо мало среднее электрическое поле, стремящееся поддержать полный ток в системе (условие $\frac{\omega_p^2 r_B^2}{c^2} \ll 1$ [12]). В отсутствие B_{0z} при выполнении неравенств $\Gamma \frac{\omega_0 r_B^2}{c^2} \ll 1$, $\omega_p^2 \gg \left\{ \left(\frac{c}{L}\right)^2, \frac{c^2 \omega_0 \Gamma}{v_0^2} \right\}$, где L – характерный продольный размер (именно эти условия реализу-

ются в эксперименте [9]), продольная сила Миллера компенсируется влиянием продольного поляризационного поля, возникающего вследствие разделения зарядов под действием радиальной силы Миллера. Индукционное поле вызывает появление плазменного тока, текущего навстречу пучку в области $r \geq r_\beta$. Выражение для максимального полного тока при $\tau \approx \tau_m$ имеет вид

$$\begin{aligned} \bar{I}_m(P) &\approx 2\pi x_{eff} K_1(x_{eff}) \left\{ \int_0^{x_\beta} d\xi \xi I_o(\xi) \bar{j}_\beta [\xi, \tau_{res}(P)] + \right. \\ &+ \frac{\pi}{2} j_* \frac{\omega_0 M^2}{\Gamma} \left[\frac{\bar{j}_\beta(r=0, \tau_{res}(P))}{j_*} \right] \times \\ &\times \left. \int_0^{x_\beta} d\xi \xi I_o(\xi) \rho(\xi) Q(\xi), \right. \end{aligned} \quad (3)$$

где P — давление газа, $j_* = e v_0 n_*$, $n_* = \frac{m \omega_0^2}{4 \pi e^2}$, $x = \frac{\omega_0 r}{c}$,

r_{eff} — эффективный радиус пучково-плазменного взаимодействия, на котором можно считать $\Gamma = const$. На рисунке изображена теоретическая зависимость $\bar{I}_m(P)$, построенная при следующих параметрах эксперимента [9]: $\omega_0 \approx 10^{10} \text{ c}^{-1}$, $M \approx 0.7$, $\beta \approx 0.9$, $r_\beta \approx 4 \text{ см}$,

$$\bar{I}_\beta(\tau) = I_{bm} \begin{cases} \frac{\tau}{\tau_m} & 0 \leq \tau \leq \tau_m \\ \frac{\tau_\beta - \tau}{\tau_\beta - \tau_m} & \tau_m \leq \tau \leq \tau_\beta \end{cases}$$

$I_{bm} \approx 100 \text{ A}$, $\tau_\beta \approx 8 \text{ мкс}$, $\tau_m \approx 6 \text{ мкс}$, а также нанесены экспериментальные точки. При больших давлениях резонанс достигается на переднем фронте пучка, где ток еще мал. С уменьшением P полный ток растет до тех пор, пока момент τ_{res} не переместится на достаточно крутой задний фронт. Эффект усиления исчезает при малых давлениях, когда $\tau_{res}(P) > \tau_\beta$.

В заключение сопоставим результаты данной работы и [11]. В [11] получено ограничение для величины коэффициента усиления $G < 1 + \gamma_0$, $\gamma_0 = (1 - \beta_0^2)^{-\frac{1}{2}}$. Однако это условие справедливо только для неограниченных в продольном направлении пучка и плазмы. Если же толщина плазменного слоя L_P , а длина пучка L_β , то, рассуждая подобно [11], можно найти, что $G < 1 + L_\beta/L_P \gamma_0$. В нашем случае $L_\beta \gg L_P$.

Список литературы

- [1] Wachtel I.M., Safran S. // Phys. Rev. Lett. 1974. V. 32. P. 95.
- [2] Briggs K.I., Clark I.C., Fessenden T.J., et al. // Proc. of 2nd International Topical Conf. on High Power Electron and Ion Beam Research and Technology. 1977. V. 1. P. 319.

- [3] Гостева Т.С., Дубовой Л.В., Заболотская Г.Р. и др. // Физика плазмы. 1977. Т. 3. В. 3. С. 1261.
- [4] Ипатов А.Л., Мхейдзе Г.П., Савин А.А. // Письма в ЖТФ. 1984. Т. 10. В. 9. С. 683.
- [5] Gupta G.P., Rahatgi V.H. // J. Appl. Phys. 1988. V. 64. N 12. P. 6626.
- [6] Pathankar A.C., Rahatgi V.K. // - Plasma Physics and Controlled Fusion. 1988. V.30. N9. P. 1101.
- [7] Clark I.C., Struve K.W., Yu S.S. // Proc. of 5th International Topical Conf. on High Power Particle Beams. 1983. P. 412.
- [8] Masuzaki M., Kamada H., Shirataki H. // J. of the Physic. Soc. of Jap. 1987. V. 56. N 4. P. 1247.
- [9] Бородулин А.И., Власенко С.И., Мамаев Г.Л. и др. В сб.: Сильноточные электронные пучки и новые методы ускорения. М.: РТИ АН СССР. 1985. С. 10.
- [10] Lau Y.Y., Lamp M., Fernsler R.F. et. al. // Phys. Fluids. 1985. V. 28. P. 2323.
- [11] Chambers F.W. // Phys. Fluids. 1979. V. 22. P. 483.
- [12] Веденин П.В., Карбушев Н.И., Рухлий В.Г. // Письма в ЖТФ. 1985. Т. 11. В. 4. С. 220.

Московский
радио-технический
институт АН СССР

Поступило в Редакцию
4 мая 1990 г.

Письма в ЖТФ, том 16, вып. 15

12 августа 1990 г.

05.2; 09

© 1990

ЭФФЕКТ КАНАЛИЗАЦИИ ЭНЕРГИИ ПОВЕРХНОСТНОЙ МАГНИТОСТАТИЧЕСКОЙ ВОЛНЫ ПРИ МЕТАЛЛИЗАЦИИ ФЕРРИТОВОЙ ПЛЕНКИ

Д.А. Барышев, А.В. Стальмаков

При разработке интегральных СВЧ устройств на магнитостатических волнах (MCB) [1] возникают вопросы, связанные с проблемой передачи энергии MCB без дифракционного расплывания волнового пучка [2]. В данной работе представлены результаты экспериментального обнаружения и исследования эффекта канализации поверхности MCB в металлизированном участке ферритовой пленки. Следует отметить, что, как известно из [3], металлизация пленки